

## 韓半島 南部地域의 고령토-남석礦床 生成機構

尚 基 南\*

Some Aspects of Kaoline-Pyrophyllite Deposits in Southern Korea

Ki Nam Sang

**Abstract:** Kaolin-pyrophyllite are locally abundant in the three hydrothermal areas at Yangsan-Tongnae area, Hadong-Sancheong area and Haenam area, deposits are originally composed of acidic volcanic rocks and anorthositic rocks in Hadong-Sancheong area. The clay deposits are formed in the near shallow depths environment through acid hydrothermal alteration. Hadong-Sancheong halloysite deposits are formed by alteration of anorthosite. These differences are mainly on the various country rocks, geological structure and properties of hydrothermal solutions.

Country rock is mostly underlain by rhyolitic tuffaceous and anorthositic rocks and a large number of clay deposits were formed during volcanic activity through upper Cretaceous-lower Tertiary. Intrusive rocks is broadly distributed in this area and clay deposits are variable in shape-layer and funnel typed. Zonal pattern of mineral assemblage is as follows, Yangsan-Tongnae deposits-kaolinite, pyrophyllite, dumortierite, andalusite and sericite, Hadong-Sancheong-mostly halloysite, and Haenam-dickite, pyrophyllite, alunite and diasporite. The difference in the zonal pattern of altered rock is considered to depend on differences in the initial acidity of related hydrothermal solution, initial acidity was controlled by the oxygen fugacity.

### 序 言

粘土礦床生成機構에 대한 연구는 한礦床의 特定條件下에서 地質環境, 矿物組成, 地球化學的 特性, 同位元素, 合成實驗方法 等으로 추구할 수 있으며 粘土礦物에 대하여서는 層狀構造, 化學組成, X-線回折, 透過走査전자현미경, 热力學的 實驗으로 母岩의 變質作用에 따른 論議가 可能하다.

韓半島 南部地域의 고령토·남석 광상 賦存地域은 1) 河東, 山清, 星州地域의 할로이사이트 광상( $7\sim10\text{ \AA}$  halloysite), 2) 海南, 和順, 東萊, 梁山, 密陽地域과 南海岸 도서지역의 고령토·남석 광상, 3) 青松, 有光(梁山)地域의 檜洞도·석영·고령토 광상으로 賦存地域이 区分되며 그의 光道, 金海, 月城, 清道, 丹陽, 成白, 康津等 地域에서도 粘土礦床이 胚胎된다.

本地域의 地質은 백악기로 사료되는 火山碎屑岩, 安山岩質岩, 凝灰岩質岩으로構成되어 東萊 梁山地域의 地質構造는 北北東-北北西의 方向으로 密陽 梁山 東萊斷層이 發達되어 응회암층은  $N10\sim30^\circ E$  方向으로, 海南 및 부근도서지역의 유문암질응회암 및 응회암층은 北北東-北北西 方向으로 發達된다.

粘土礦床 生成時期는 中生代末부터 第三紀初까지이며 이時期의 火山活動으로 因한 母岩의 熱水變質作用으로 고령토·남석礦床을 形成시켰고 矿體는 地域에 따라 層狀, 漏斗狀(funnel type)을 이루어 一定한 層準에 따라 發達된다.

組成礦物로 粘土礦物인 카오리나이트(kaolinite), 딕카이트(dickite), 할로이사이트(halloysite), 남석, 견운모등이 主成分礦物로서, 명반석은 硅化帶周邊部에 수반되고, 소량내지 미량의 다이아스포아, 흥주석, 듀모티에라이트(dumortierite), 황철석, 백철석등이 수반된다. 生成機構에 관련된 조사연구는 一部地域은 報告가 있으나 主要礦床周邊部의 地質系統과 母岩의 變質作用에 관하여는 토의된 바 없다.

本報告는 韓半島 南部地域에 배태되는 고령토·남석礦床에 對하여 從前資料와 热水型 粘土礦床의 生成機構에 대해서 論議코자 한다. 生成機構에 對하여 토의하여 주신 동력자원연구소 박노영 박사 및 연세대학교 문희수 박사께 사의를 표합니다.

### 粘土礦床의 研究

國內 粘土礦床에 對한 調查研究는 日人地質學者에 의한 探查와 (1945. 8月 以前) 정부수립 후 國內人만으

\* 釜山大學校 地質學科

로(1945. 8月以後) 이루어진 調査 등 二段階로 既分할 수 있다. 一次의으로는 日人에 의한(1906~1945) 既知의 고령토·남석鑛床을 探査한 結果에 의해 玉埋聲山 黃山 加沙島 院洞 光道 等의 남석광산과 河東고령토광산이 開發되었다. 1917年 初에는 玉埋鑛山이 本格으로 開發되었으며, 이어 1921年에는 河東고령토가 日本나고야 도자기 회사에 530吨이 수출되었다. 1936年에는 年產 9,325吨이 전국에서 채굴된 바 있다. 主要 粘土鑛床 賦存地域의 地質調查는 山成에 의해 密陽(1922), 榆川(1924), 木野崎에 의해 海南 右水營(1929)등 五萬分之一 地質圖가 發刊되었다.

韓半島 南部地域인 慶南 東萊, 梁山, 密陽附近과 全南 海南附近 및 附近島嶼地域의 고령토·남석광상 生成時期를 白堊紀 末부터 第三紀 初에 까지 걸쳐서 火山活動에 의한 熱水變質作用으로 되었다고 木野崎(1934)는 지적하고 平壤 寺洞 및 三神耐火 粘土鑛床의 成因을 中國撫順炭田의 반토세일(Al. shale)과 同一時期로 추정하였다(土田, 1944). 白石(1976)에 依하면, 河東고령토鑛床의 成因은 灰長岩中에 貫入된 반려암으로 因한 熱水作用과 後風化作用으로 形成되었다.

國立地質調查所 밤죽과 더불어 國土全域의 非金屬鑛床의 한 分野로 粘土鑛床 探査가 實施되었으며 많은 鑛量의 確保와 鑛山開發에 기여하기에 이르렀다. 이와 併行하여 圖幅調查도 鑛床 賦存地域인 東萊, 彥陽, 梁山, 莞島, 智山等의 地質圖가 完成되었다.

조한익, 문희수(1977)는 海南 加沙島 地域의 남석·명반석鑛床의 母岩은 凝灰岩質岩과 流紋岩質凝灰岩으로構成되어 鑛體는 NE-NS方向으로 發達되었다고 했으며 박홍범의(1982)는 莞島 加沙島地域의 鑛床形成은 凝灰岩層에 一部 石英斑岩의 貫入을 받았으며 和順郡 南面 및 梨陽面附近의 松石 남석광상은 天雲山層 上部에 피복된 凝灰岩層이 熱水變質과 次生作用으로 形成되었다고 報告하였다. 東萊, 梁山, 密陽地域의 고령토·남석鑛床母岩은 長石斑岩, 珍岩, 安山岩質岩으로도 報告된 바 있다(山成, 1924).

韓半島 南部地域에 廣範圍하게 賦存된 고령토·남석鑛床에 대한 成因은 單純한 淺熱水型으로 大部分의 現地調查者의 成因에 관하여서는 意見의 一致를 보고 있다. 그러나 粘土鑛床附近의 地質系統에 對해서는 調査者에 따라 意見을 달리하고 있다.

熱水性 고령토·남석鑛床의 生成機構가 韓國과 類似한 日本의 고령토 남석鑛床을, 特히 熱水型에 대해 片山(1969)은 1) 高溫型, 2) Telescope型, 3) 남석型, 4) 淺熱水型으로 分類하였다. 鑛床形成은 中生代末부터 第三紀初까지 걸친 熱水作用을 成因으로 보았으며, 木野

崎(1963)는 海南地域 南석鑛床을 日本 오카야마 三石 남석鑛床과 同一成因으로 凝灰岩層이 堆積後 淺熱水作用과 일부 分출가스등이 母岩을 變質시켰다고 하였다. 藤井(1979)은 三石 남석鑛床成因을 凝灰岩層이 上下 두 層으로 構成되어 南석鑛床은 下部層에만 隨伴되어 強酸性 溶液과 分출가스가 NE-NS方向의 단열대(fraction)를 따라 침투하여 母岩을 變質시켰다고 反論을 提起하였다.

木野崎(1969)는 韓半島 南部地域의 粘土鑛床을 鑛物組成別로 地質時代를 두 時代로 나누어, 流紋岩質凝灰岩을 母岩으로 한 딕카이트—남석—명반석帶를 上部白堊紀로, 東萊·梁山地域의 流紋岩質岩을 母岩으로 한 고령석—남석—듀모티에라이트帶를 下部白堊紀로 추정하여 日本 고령토—남석鑛床과 鑛物組成上 유사함을 지적한 바 있다.

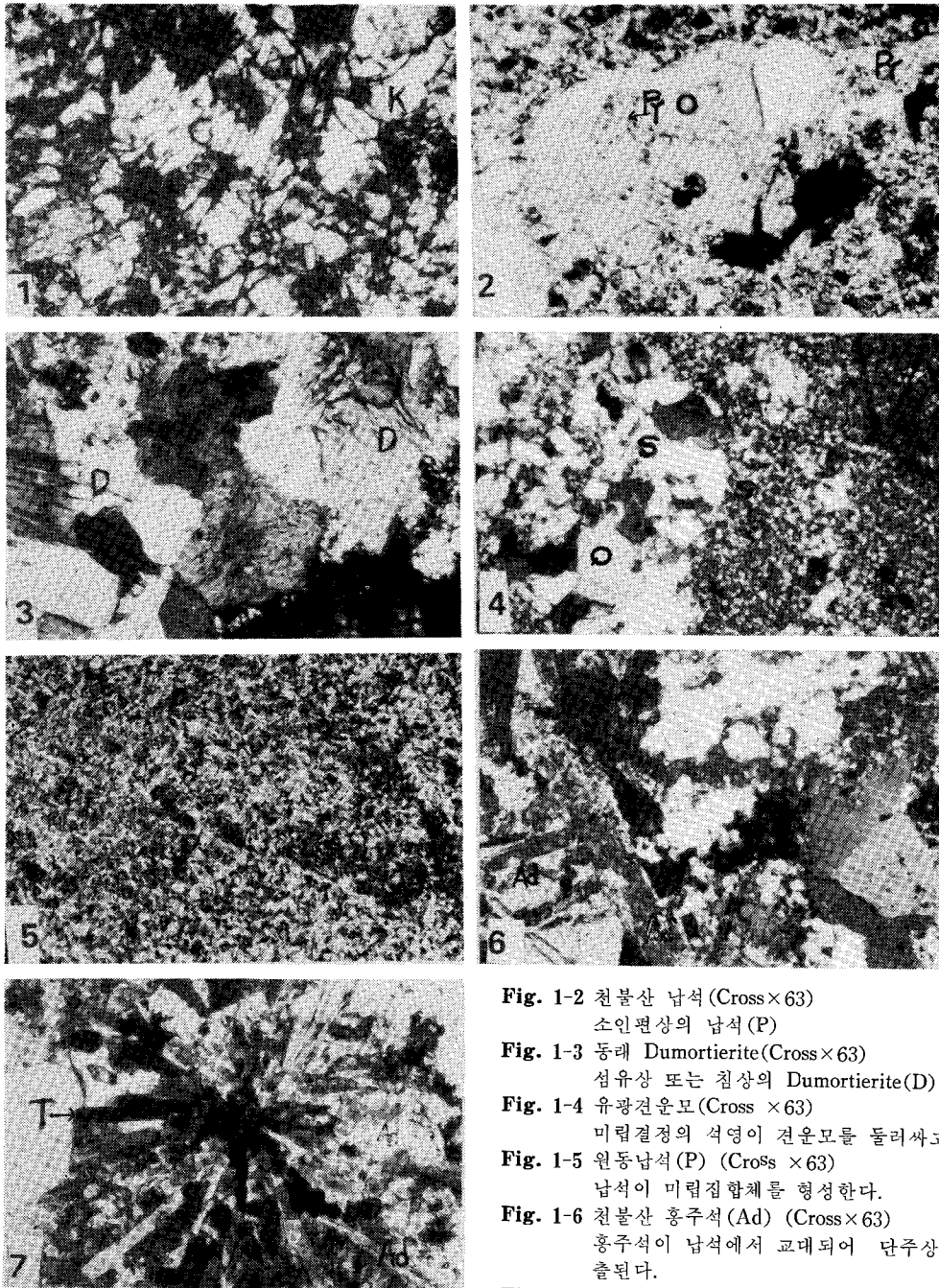
日本의 南석鑛床에 대해서는 뜸은 論議가 되었으나 國內 熱水性 粘土鑛床의 母岩 生成機構에 대한 論議는 없었다. 從前까지 本地域의 地質은 酸性火山岩類와 火山碎屑岩으로 構成되었고, 地質系統은 新羅統에 屬하는 下部로부터 八公山凝灰岩, 朱砂山安山岩, 雲門山酸性岩으로 分類되며, 장기홍(1977)은 慶尚盆地內의 火山岩類와 一部 堆積岩類의 榆川層群으로의 통합을 시도한 바도 있다. 고령토·남석鑛床 附近 地質은 陸成火山碎屑岩과 酸性岩으로 構成되어 粘土鑛床의 地質系統과 岩石記載에 있어서 調査者에 따라 뜸은 意見差異를 나타냈다.

### 粘土鑛床의 生成機構

熱水型 粘土鑛床의 生成機構에 對한 説法는 鑛床發達狀況과 地球化學的 研究가 이루어진 후에 라야 論議가 可能하다. 從來의 生成機構에 관한 研究를 고찰코자 한다.

#### 粘土鑛物 生成溫度

熱水型 粘土鑛床은 一般的으로 地表 또는 地表下 淺部에 生成되는 例가 많으며  $\text{SiO}_2\text{-}\text{Al}_2\text{O}_3$ 系에 있어서는 多量의 水分을 含有한 含水矽酸鹽礦物를 生成시킨다. 硅化帶 주변부에서 形成되는 粘土鑛物과 명반석은 酸性粘土化變質(advanced argillic alteration)의 용탈孔(leached cup)으로 인하여 形成되는 경우도 있다. 카오린鑛物合成은  $\text{Al-Si gel}$ 을 出發物質로 하여 Noll(1935), Ewell 및 Insely(1935)등이  $400^\circ\text{C} \sim 200^\circ\text{C}$ 氣壓下에서 보어마이트(boehmite), 카오리나이트, 딕카이트 및 南석등을 合成하였으며 Noll(1944)은  $20 \sim 500^\circ\text{C}$ ,  $8 \sim 20$ 氣壓下의 條件下에서도 보어마이트, 카오리나이트, 南석등을 合成하였다. Ewell and Insely 方法으로



**Fig. 1-1** 하동 Kaolinite(Cross $\times$ 63)  
변질대에서 절석형 산상의 Kaolinite(K)

**Fig. 1-2** 천불산 남석 (Cross $\times$ 63)  
소인편상의 남석 (P)

**Fig. 1-3** 동태 Dumortierite(Cross $\times$ 63)  
섬유상 또는 침상의 Dumortierite(D)

**Fig. 1-4** 유광견운모 (Cross  $\times$ 63)

미립결정의 석영이 견운모를 둘러싸고 있다.

**Fig. 1-5** 원동남석 (P) (Cross  $\times$ 63)

남석이 미립집합체를 형성한다.

**Fig. 1-6** 천불산 홍주석 (Ad) (Cross $\times$ 63)

홍주석이 남석에서 교대되어 단주상으로 산출된다.

**Fig. 1-7** 전기석 및 홍주석 (Cross $\times$ 63)

단주상의 전기석 (T)과 홍주석 (Ad)이 남성층에 교대 공생한다.

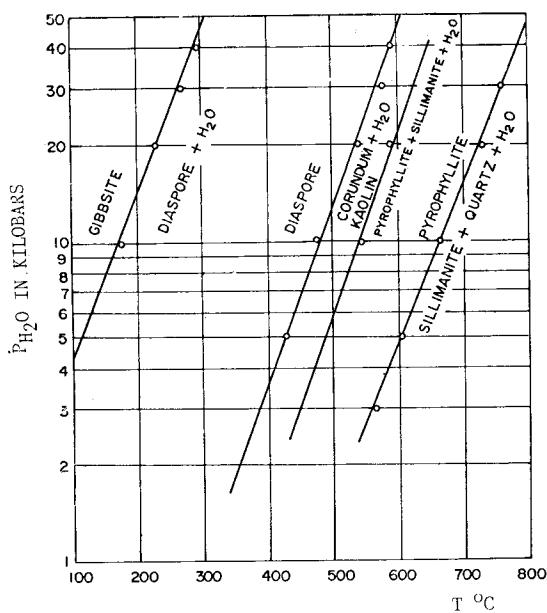


Fig. 2 Vapor pressures of some relation in the system  $\text{Al}_2\text{O}_3\text{-SiO}_2\text{-H}_2\text{O}$  (After Kennedy, 1959).

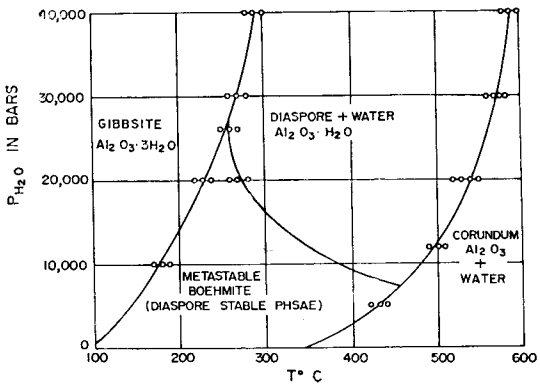


Fig. 3 Phase relations at high  $\text{H}_2\text{O}$  pressures in the system  $\text{Al}_2\text{O}_3\text{-H}_2\text{O}$  (After Kennedy, 1959).

Ray(1962)는  $600^\circ\text{C}$ , 350氣壓下에서 카오리나이트, 납석,  $\text{Al}\text{-몬모릴로나이트}$ 를 합성하였고, 한편 Rodrique et al. (1972)은 Leonard(1964) 합성法인  $\text{Al-Si gel}$ 을出发物質로  $175\sim250^\circ\text{C}$ , 8.8~39.2氣壓下에서 보어마이트, 카오리나이트등을 합성하였다. 이 결과들은 카오리나이트의生成溫度가壓力에 의하여變化되고, Noll은 結晶形도 低溫에서 2:1 및 1:1 層構造를 形成하여 溫度上昇에 따라 生成되는 것이 아닌 것으로 지적하였다.

Laubergayes and Weitz(1943)는  $150^\circ\text{C}$  内外에서 50~150時間 사이에서 김사이트—보어마이트가生成되

었다고 하였고 Ervin과 Osborn(1951)은  $400^\circ\text{C}$ , 65~650氣壓下에서는 다이아스포아는 脱水(dehydration)되면서 轉移相을 떤다는 것을 突明하였다(Fig. 2). Kennedy(1959)는  $\text{Al}_2\text{O}_3$ 系에서  $100\sim600^\circ\text{C}$ , 5,000~40,000氣壓條件下에서 트리디마이트가 安定하며, 김사이트는  $295^\circ\text{C}$ 에서 安定되고 다이아스포아—보어마이트는  $590^\circ\text{C}$ , 40,000氣壓에서는 不安定하다는 것을 立證하였다(Fig. 3). 母岩과 溶液反應은 溶液中  $\text{HCl}$ ,  $\text{NaCl}$ ,  $\text{KCl}$ 의濃度比에 따라 납석, K-雲母, Na-雲母, K-長石, 알바이트등이 生成되며 溫度와 pH, S,  $\text{O}_2$ 의濃度와 fugacity등이 粘土礦物 生成機構에 重要한 役割을 한다고 Hemley(1964, 1971)는 지적하였다. 카오리나이트 合成可能 溫度는  $250\sim400^\circ\text{C}$ 로서 그 이상의 경우는 납석礦物 生成이 可能하다고 하였다.

#### 母岩의 變質作用

母岩의 變質作用은 母岩의 단열대에 따라 熱水溶液과 分출가스가 热水通路의 中心部에서 外側으로 酸化, 硅酸鹽, 黃化礦物等의 累帶構造를 形成시켜 矿體中心部에서 變質作用過程은 強變質帶—弱變質帶—母岩順으로 粘土礦床을 形成시킨다(Fig. 4: Iwao, 1970).

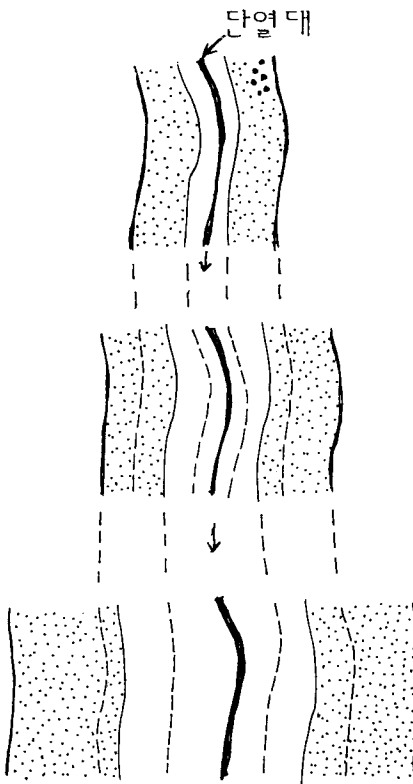


Fig. 4 단열대에 따라 열수통로의 중심부에서 외측으로 점토광물의 변질누대를 형성한다(Iwao, 1972).

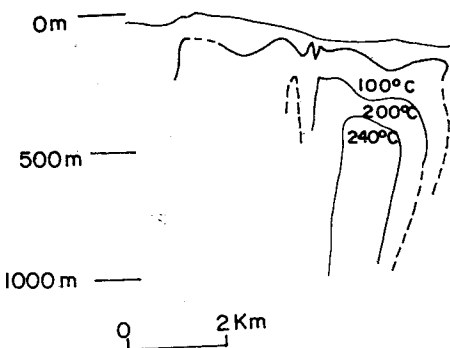


Fig. 5-1 뉴질랜드 Wairakei지역의 지열등고선 (After Grindley, 1965).

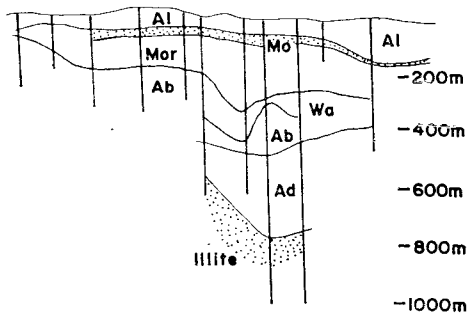


Fig. 5-2 뉴질랜드 Wairakei 지열지대剖面 (After Grindley, 1965)

A) 뉴질랜드 와이라카이트(wairakite) 地熱地帶의 累帶構造는 热水가 地表로 上昇하여 암장수와 反應하여生成되고 地表附近에서 명반석, 모데나이트(mordenite), 일라이트, 와이라카이트, 빙장석등이 地熱等高線에 따라 鑿物의 生成을 달리하고 있다(Fig. 5).

B) 變質帶 形成은 热水通路의 中心部에서 外側 變質帶의 幅을 넓히고 部分的인 風化作用으로 變質幅을 넓히고 粘土化를 促進시키는 要因도 된다. 地表附近에서는 變質作用과 風化作用이 함께 이루어진다. 粘土型은 層狀, 파이프狀, 불규칙괴상, 누두상으로 胚胎되나  $\text{SO}_4$ ,  $\text{FeS}$ ,  $\text{B}$ ,  $\text{H}_2\text{S}$ ,  $\text{K}_2\text{O}$ ,  $\text{Na}_2\text{O}$  등의 가스와 溶液의 反應으로 명반석, 전기석, 듀모티에라이트, 활동석, 백질석등이 고령토—납석礦物과 共生된다. 金銀礦脈, 黑礦(Kuroko)등 地帶에서도 變質帶에 따라 硅化帶—고령토帶—몬모릴로나이트帶의 累帶構造로 K, Na, S, Mg, Ca등의 溶液成分에 따라 鑿物組成(mineralogical assemblage)을 달리한다.

강옥(corundum,  $\text{Al}_2\text{O}_3$ ), hexagonal-보어마이트(bo-

ehmite,  $\gamma\text{Al}_2\text{O}_3 \cdot \text{H}_2\text{O}$ ), orthorhombic-다이아스포아(diaspore,  $\alpha\text{Al}_2\text{O}_3$ )등은 가상을 이루고 있다.

### 粘土礦物의 生成時期

Al,  $\text{SiO}_2$  gel 狀에서 热水合成의 生成時間은 出發物質의 種類, 溶液의 特性, 温度, 壓力에 따라 10시간 内外에서 粘土礦物의 生成을 可能케 하며 出發物質이 미립자인 경우는 溶液의 侵透에 單時間이 소요되나 自然環境下에서 岩石內에 侵透하는 경우는 長久한 時日이 소요된다.

미국 Katmai, Ten thousand Somoke 鐫山의 热水作用 持續時間은 約 50年間이 소요되었으며 (Lovering, 1957b) 뉴질랜드 Broad lands의 地熱地帶는 約  $2\sim 5 \times 10^5$  Yrs.가 계속된다고 推定하였다 (Browne, 1970).

#### (1) 粘土化 形成過程 :

粘土化 形成過程은 初期의 岩珠中에 初生热水供給, 热水通路, 地質構造 擴散場所등의 條件을 形成시키며 岩珠 下盤部에서 热水通路의 發達로 形成된 미국 斑銅礦床, 영국 Cornwall 고령토礦床등을 열거할 수 있으며 이와 反對로 热水通路의 發達이 현지하지 못한 곳은 岩脈이나 角礫岩帶에 따라 小規模로 形成되는 例가 있다.

2) 大規模의 热水性 粘土礦床은 母岩密度, 透水率, 퍼복암(cap rock)등에 의해 決定되는데 流紋岩類, 濕灰岩類는 热水擴散이 容易하여 이들 岩層의 上部層에는 透水性이 낮은 세일층이 퍼복되어서 热水擴散을 防止하여 下部層에 大規模 矿床形成에 要因을 주고 있다. 이와 같은 양상을 Tsusuki et al (1971)은 粘土礦物 生成時間이 热水成分, P.T와 热水 流出量의 速度에 의해 決定된다고 하였다.

### 고령토—납석礦床

韓半島의 고령토 및 납석礦床은 大部分 南部地域에 賦存되어 東萊, 梁山, 密陽地域의 小規模礦床, 河東, 山清, 星州地域에서 大規模의 고령토礦山, 海南 및 부근도서에서는 납석—고령토의 大小規模礦床等으로 分類할 수 있다.

東萊, 梁山附近의 地質은 白堊紀로 사료되는 酸性火成岩類로 構成되어 下部로부터 安山岩類와 流紋岩質凝灰岩이 噴出된 樣相을 나타내고 粘土礦床周邊部에서는 石英閃綠岩과 黑雲母花崗岩類가 貫入되어 있다. 고령토—납석礦床의 母岩은 流紋岩質凝灰岩層으로 東萊斷層에 의해 北東方向으로 잘려져 있으며 矿體는 N30W ~N30E로 發達되어 있다. 流紋岩質凝灰岩의 層厚는 100~350m程度이다.

河東, 山清, 星州地域에서 灰長岩이 母岩인 고령토  
礦床은 石英閃綠岩에 의해서 一部 貫入되어 있다.

고령토— 남석礦床에 있어서 鑛物組成은 鑛體 中心部  
에서 Al系 鑛物類가 多量 隨伴되어, alumina의 熱水  
作用에 의해서 침전농축현상을 生覺할 수 있다.

各 鑛床에서 產出되는 主要礦物의 特性을 略述하면  
다음과 같다(Table 1).

#### 강옥(Corundum)

육안적으로 보라색 미립의 小結晶으로 鏡下에서 乳白色의 고령토— 남석礦物 中心部에 배태되어 C축에 直角으로 parting되고 多色性 高低의 굴절율로서 一軸性結晶을 이루고 있다. 一部는 남석으로 交代되어(千佛山, 林基礦山) 있다.

#### 다이아스포어(Diaspore)

직경 3~7cm내외의 (1) 球形 내지는 타원형, (2) 다이아스포어·클레이(미국, 구라파지역에 주로 生産), (3) 산첩상으로 分布된 세가지 형태가 있는데 光道, 松石 및 丹陽產 다이아스포어의 產出狀은 (1)型에 해당되며 화순, 東萊, 光道, 千佛山礦山에서는 (3)型의 產出狀을 보인다. 鏡下에서 관찰되는 다이아스포어는 2V가 84°내외이다.

카오리나이트(Kaolinite), 딕카이트(Dickite), 7Å~10Å 할로이사이트(Halloysite).

鏡下에서 카오리나이트와 딕카이트는 六角板狀을 呈하여 두礦物이 유사하나 딕카이트는 카오리나이트보다 結晶形이 發達되고 自形을 이루며 全南, 聲山, 玉埋, 黃山礦山等에서는 六角板狀으로서 一部는 남석으로 交代되어 있다. 密陽礦山에서는 小鱗片狀 혹은 질석形으로 半自形을 이루고 있으며 한편 XRD下에서 쉽게 区分된다. 550°C에서 1時間 热處理 後 回折하면 d(001)은 7.2Å, (002)는 3.6Å 봉우리가 소멸되므로 카오리나이트인 것이 확인되나 딕카이트는 550°C, 1時間 치리 후의 回折圖에서는 소멸이 안된다. 河東, 山清, 星州地域의 고령토류는 7~10Å 할로이사이트礦物에 屬한다 (Fig. 1-1, 카오리나이트).

#### 남석(Pyrophyllite)

남석의 육안적 產狀은 乳白色, 淡綠色, 青淡色을 띠고 굳기는 남석中에 含有된 鎣 반석, 石英, 카오리나이트, 絹雲母等의 含量比에 따라 달라진다. 鏡下에서는 無色鱗片狀으로 나타나고 復屈折率이 雲母類나 滑石보다 높으며 2V는 57~58°로 粒子는 方柱形으로 組成되어 고령토가 남석으로 交代되어 있다(Figs. 1, 2, 5). 불투명礦物인 黃鐵石, 白鐵石(직경 0.1~0.3mm)의 自形粒子가 남석과 石英粒子 주변부에 혼재되어 있으며 이들의 一部가 母岩에 배태되어 酸化된 部分은 青綠色의

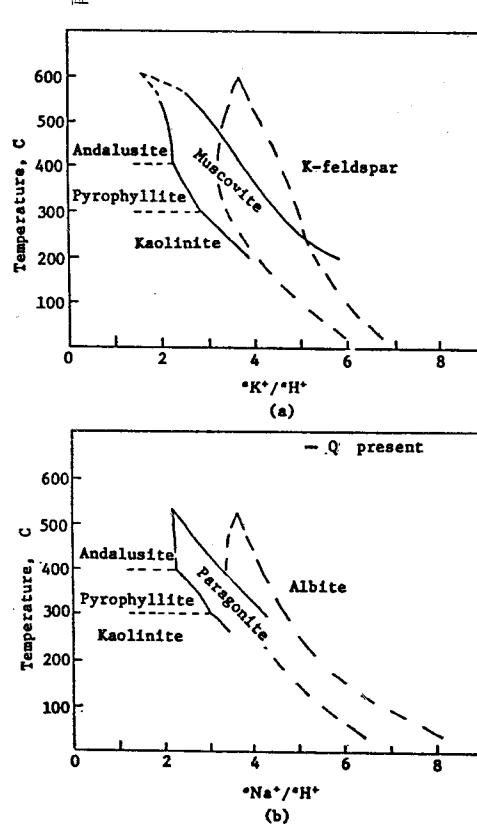


Fig. 6 Reaction curves for the system  $K_2O/Na_2O-Al_2O_3-SiO_2-H_2O$  (after Hemley, 1964, 1971).

礦染狀斑點을 이루고 있다.

#### 絹雲母(Sericite)

絹雲母는 육안적으로 乳白色의 미립鱗片狀의 集合體를 띠우고 復屈折이 남석보다는 낮으며, 石英粒子(직경 0.1~0.2mm) 사이에 充填하여 葉狀結晶으로 散在한다. 有光礦山에서는 弱變質帶에서 미립의 黃철석自形이 共生한다(Fig. 4).

#### 홍주석(Andalusite)

鏡下에서 홍주석은 長柱狀의 集合體로 나타나며 一部에서 남석이 交代되어 東萊, 林基, 千佛山礦山에서 고령토 및 남석礦物中에 隨伴된다(Fig. 3).

#### 듀모티에라이트(Dumortierite)

듀모티에라이트는 외관상 淡青色을 呈하고 고령토·남석礦物의 集合體 表面에 細은 層을 이루고 斑狀을 呈한다. 鏡下에서는 미립의 침상 또는 섬유상으로 불규칙한 애마 바상을 이루고 있다(Fig. 6, 7, 東萊, 千佛山). 主要 粘土礦床의 鑛物組成은 카오리나이트, 딕카이트, 남석等이 主成分 鑛物을 이루고 東萊—梁山 地域에서는 카오리나이트, 남석, 듀모티에라이트, 홍주석等이 隨伴되고, 海南附近에서는 딕카이트, 남석, 명

Table 1 粘土礦床의 母岩과 鑽物組成。

卷之三

※ : ◎: 주성분 광물      ○: 부성분 광물       $\Delta$ : 소광  
비고 : ① David Gallagher(1963) , ② 조현아, 무현수(1978) , ③ 박호현, 김세숙, 박현수(1982) , ④ 이자숙(1985) , ⑤ 김기현(1986)

1. G : 질 사이트 (Gibbsite)	$\text{Al}(\text{OH})_3$	$\text{Al}^{3+} + 3\text{H}_2\text{O} \rightleftharpoons \text{Al}(\text{OH})_3 + 3\text{H}^+$	1. G : 고체 (Solid), 2. D : 액체 (Liquid), 3. S : 가스 (Gas)
2. D : 디아스포어 (Diaspore)	$\text{Al}_2\text{O}_3 \cdot \text{H}_2\text{O}$	$\text{Al}^{3+} + \text{H}_2\text{O} \rightleftharpoons \text{Al}_2\text{O}_3 \cdot \text{H}_2\text{O} + 3\text{H}^+$	1. G : 고체 (Solid), 2. D : 액체 (Liquid), 3. S : 가스 (Gas)
3. S : 코루단덤 (Corundum)	$\text{Al}_2\text{O}_3$	$\text{Al}^{3+} + 3\text{H}_2\text{O} \rightleftharpoons \text{Al}_2\text{O}_3 + 3\text{H}^+$	1. G : 고체 (Solid), 2. D : 액체 (Liquid), 3. S : 가스 (Gas)
4. K : 고리나우트 (Kaolin Group)	$\text{Al}_2\text{Si}_2\text{O}_5 \cdot 2\text{H}_2\text{O}$	$\text{Al}^{3+} + 3\text{H}_2\text{O} \rightleftharpoons \text{Al}_2\text{Si}_2\text{O}_5 \cdot 2\text{H}_2\text{O} + 3\text{H}^+$	1. G : 고체 (Solid), 2. D : 액체 (Liquid), 3. S : 가스 (Gas)

5. Ko : 카오리나이트(Kaolinite)      6. D : 딕키아이트(Dickite)

7. H : 할로사이트(Halloysite)      8. P : 푸석(Pyrophyllite)

9. Ch.	느나석 (Chlorite)	10. Se: 견울포 (Sericite)	11. A: 흑판석 (Alunite)	12. Ad: 흥주석 (Andalusite)
--------	----------------	------------------------	----------------------	--------------------------

13. D : 디포트라이트(Dolomitic Limestone)	14. T : 투마린 척석(Tourmaline Chert)	15. Fe : 강철석(Hematite)	16. Mont : 몽탈로나이트(Montmorillonite)
17. D : 디포트라이트(Dolomitic Limestone)	18. T : 투마린 척석(Tourmaline Chert)	19. Fe : 강철석(Hematite)	20. Mont : 몽탈로나이트(Montmorillonite)
17. D : 디포트라이트(Dolomitic Limestone)	18. T : 투마린 척석(Tourmaline Chert)	19. Fe : 강철석(Hematite)	20. Mont : 몽탈로나이트(Montmorillonite)
17. D : 디포트라이트(Dolomitic Limestone)	18. T : 투마린 척석(Tourmaline Chert)	19. Fe : 강철석(Hematite)	20. Mont : 몽탈로나이트(Montmorillonite)
17. D : 디포트라이트(Dolomitic Limestone)	18. T : 투마린 척석(Tourmaline Chert)	19. Fe : 강철석(Hematite)	20. Mont : 몽탈로나이트(Montmorillonite)

반석이 隨伴되는 特徵을 나타내고 鑛物組成은 累帶構造를 이루고 있다.

**累帶構造**: 고령토 및 납석鑛床의 變質帶는 鑛體中心部로부터 外側으로 고령토-납석帶-珪化帶-強變質帶-弱變質帶順으로 累帶構造를 形成하고 있다.

**珪化帶-黃化帶**: 鑛體를 中心으로 地表附近 露頭 또는 深處에 發達된 硅化帶는 白色乃至灰色으로 치밀, 堅固한 石英으로 構成되어 있다. 硅化帶附近에는 黃鐵石 및 白鐵石等이 미립의 自形을 이루며 一部酸化된部分은 鮎 갈색을 띠우고 있다. 특히 海南地域에서는 명반석이 硅化帶附近에서 隨伴된다.

**弱變質帶**: 母岩의 變質度가 낮으며 母岩組成에 가까운 것으로 一部長石類 및 雲母類는 고령토-綿雲母化作用을 약하게 받은 것으로, 石英, 長石, 雲母等은 風化作用을 받은 樣相을 나타내기도 한다. 弱變質된母岩의 規模는 一定하지 않고 院洞에서는 約 10m이 상을 나타내고 있다. 이와같이 母岩의 變質樣相은 熱水性粘土鑛床 究明에 要素를 주고 있다.

**強變質帶**: 鑛體와 弱變質帶의 中間에 存在하는 變質帶로서 母岩의 組成鑛物中 石英 및 高溫鑛物만 남기고 長石類 雲母類等이 變質된 母岩을 칭하며 一部은 고령토, 납석, 綿雲母系 鑛物이 生成된 것으로 黃鐵石과 白鐵石은 곳에 따라 散點狀으로 自形을 이루고 있다. 一部 變質帶中에 含有된 黃鐵石은 酸化作用을 받아 褐色을 나타내기도 한다. 石英粒子주위에는 中粒 及至粗粒의 粘土鑛物로 둘러싸여 있다.

東萊-梁山地域의 粘土鑛床은 小規模鑛床으로서 強變質帶에서 黃化鑛物(黃鐵石, 白鐵石)이 散點狀으로 隨伴되어 선광으로 粘土鑛物의 회수가 어려우므로 磨礲되는 事例가 많다.

**고령토-납석帶**: 經濟的으로 稼行대상 鑛體를 칭하며 고령토-납석-綿雲母를 主成分으로 하는 含Al系 鑛物로 이루어져 있다. 酸化鑛物인 다이아스포어, 강옥, 김사이트와 규산염 광물인 카오리나이트, 할로이사이트( $7\text{Å} \sim 10\text{Å}$ ), 납석, 홍주석, 전기석, 듀모티에라이트로 組成되어 있다. 할로이사이트鑛物은 分散상으로서 產生되고 납석, 고령토는 純상으로 產生된다. 鑛體는 層狀, 漏斗狀(funnel type)으로 배태되나 東萊, 千佛山, 院洞鑛山에서 漏斗狀을 小規模 보이고, 海南, 聲山鑛山에서는 層狀으로 大小規模 發達된다.

高溫鑛物에 해 당되는 홍주석, 듀모티에라이트, 전기석等은 東萊, 梁山地域에서 隨伴되어 高溫高壓下에서 生成된 것으로 火山性 gas 噴出에 의한  $\text{H}_2\text{S}$ , B의 成分에 인한 것으로 사료된다.

단위 鑛山別 鑛物組成은 다음과 같이 分類된다.

1. 견운모-석영-카오리나이트-황철석(유광, 청송광산)

2. 카오리나이트-납석-명반석-황철석(김해, 구암광산)

3. 딕카이트-납석-명반석-황철석(육매, 성산, 황산광산)

4. 카오리나이트-납석-홍주석-듀모티에라이트(동래, 천불산광산)

5. 납석-카오리나이트(밀양, 용천광산)

6. 할로이사이트( $7\text{Å} \sim 10\text{Å}$  halloysite) (하동, 산청, 성주지역)

地域의으로 요약한다면

1) 경남 동래, 양산지역

김사이트-다이아스포어-강옥-〈카오리나이트-견운모-홍주석-전기석-듀모티에라이트〉-황철석-백철석

2) 전남 해남 및 부근도서지역

김사이트-다이아스포어-강옥-딕카이트-명반석-(황철석)-백철석

3) 하동, 산청, 성주지역

김사이트-보에마이트-할로이사이트-황철석-불석

### 鑛床形成過程

韓半島 南部地域에 있어서 고령토-납석鑛床 形成은 流紋岩質凝灰岩과 凝灰岩을 母岩으로 白堊紀末에 石英閃綠岩, 花崗岩等의 貫入으로 因한 熱水作用으로 粘土鑛床을 形成시켰다고 사료된다.

고령토-납석의 鑛化作用은 流紋岩質凝灰岩과 凝灰岩에 NE-NW方向으로 發達된 단열대와 東萊斷層과 사교하는 小斷層에 따라 熱水溶液과 一部 噴出된 가스가 침투하여 硅化帶-고령토-납석帶-強變質帶-弱變質帶로 帶狀構造를 形成하였으며 鑛物組成은 김사이트-다이아스포어-고령토(카오리나이트-딕카이트)-납석-견운모 順으로共生한다.

고령토-납석화작용은 熱水solution 通路의 中心部에서 현저히 鹽基의 용탈을 發生시켜 硅化帶, 鑛化帶를 形成시켰고, 한편 母岩中에서 鹽基를 溶出한 熱水solution은 交錯 酸性度를 감소시키면서 熱水solution 通路의 外側母岩에 침투하여 弱變質帶를 形成시킨 것으로 사료된다.

東萊, 梁山地域에서 고령토-납석帶中에 少量 產生되는 紅柱石, 듀모티에라이트, 전기석等은 高溫鑛物로서 이들中 전기석, 듀모티에라이트는 핵봉소광물로서 火山噴出gas 중에서 일부 봉소성분이 도입된 것으로 사료된다. 납석과 고령토광상의 生成溫度는 납석이 약

570°C, 카오리나이트가 약 410°C이며, 이들은 廣範圍 한 壓力範圍下에서 安定하다고 보고된 바 있다(片山, 1969).

고령토—납석 광상은 통상 淺熱水鎌床으로 區分되나 東萊, 梁山地域에서는 高溫鎌物의 수반상을 고려할 때 최소한 600°C내외에서 形成된 것으로 사료되며, 海南 地域에서는 高溫鎌物의 수반성이 미확인되었지만 납석 광상 최고온도인 570°C이하에서 生成되었다고 추정된다.

金海, 九岩, 聲山, 玉埋鎌山의 硅化帶附近에서 명반석이 地表附近에서 發達되는 것은 上昇熱水溶液이 地表附近에 H<sub>2</sub>Sガ스의 酸化 potential이 높은 것으로 사료되어 H<sub>2</sub>S의 酸化는 地表 얕은 環境에 發生되며 산소의 fugacity의 增加는 強酸性溶液의 形成에 重要한 역할을 하였다.

母岩의 層厚는 100~300m 內外로서 基底層은 安山岩類로 構成되어 있고 東萊, 梁山地域에서의 鎌體는 小規模 漏斗狀으로 NE-NW方向으로 發達된다. 鎌體一部은 小斷層으로 NS方向으로 잘려져 있다. 海南 및 부근도서地域에서의 鎌體는 비교적 規模가 크며 層狀으로 發達된다. 聲山鎌山附近에서는 凝灰岩層中에 세일층이 20m내외로 挾在된다고 보고된 바 있다(손진남 외, 1980). 海南地域에서 鎌體의 規模가 큰 것은 母岩上部에 不透性 被覆岩인 세일층이 热水溶液의擴散을 防止함으로서 母岩의 變質作用을 廣範圍하게 促進시켰다고 思料되며 페복암인 세일층의 一部은 침식 당하였다고 추정된다.

유광도석 광산에서 견운모화작용은 열수용액 중 알카리이온/H<sup>+</sup>比가 母岩인 유문암질 응회암중에 알카리장석이 잔존하기에는 너무 낮아 장석이 변질작용을 받아 견운모, 카오리나이트를 生成시켰으며 母岩의 殘存物로서 石英이 隨伴되어 鎌體를 形成하였다.

Hemley(1964)는 Na<sup>+</sup>, K<sup>+</sup>/H<sup>+</sup>比가 증가되어 固相의 용적감소에 따라 岩石 공극율이 증가된다고 하였다. 열수용액 중 Na<sup>+</sup>, K<sup>+</sup>/H<sup>+</sup>比가 鎌化帶 center부에서 증가되고 용액이 外側으로 이동됨에 따라 감소되어 一部長石이 變質되지 않고 弱變質帶를 形成하여 미립 黃鐵石이 隨伴되는 樣相을 나타내고 있다.

## 結論

韓半島 南部地域에 賦存되는 고령토—납석 鎌床은 热水型으로서 變質帶는 累帶構造를 이루고 鎌體는 地表附近 얕은 곳에서 發達되고 深部에는 發達되어 있지 않다. 鎌物組成은 地域의으로 두 型으로 요약된다.

東萊—梁山地域

보에 마이트—깁 사이트—다이아스포어—강옥—카오리

나이트—납석—견운모—듀모티에라이트—홍주석·전기석.

## 海南 및 부근도서지역

보에 마이트—깁 사이트—다이아스포어—강옥—덕카이트—납석—명반석.

## 河東, 山清, 星州地域

할로이사이트(7Å~10Å halloysite).

河東, 東萊, 梁山地域에서 粘土鎌床의 母岩은 白堊紀末로 사료되는 石英閃綠岩, 黑雲母花崗岩 貫入으로 母岩變質을 일으킨 것으로 사료되며 鎌石鎌物의 特徵은 東萊, 梁山地域에서 高溫性 鎌物인 전기석, 홍주석, 듀모티에라이트等이 수반되고, 海南地域에서는 명반석이 수반된다. 鎌物組成의 차이는 热水溶液과 SO<sub>4</sub>, FeS, B, H<sub>2</sub>S等 화산성 分출ガ스의 成分差에 의해 이루어진 것으로 사료된다.

고령토—납석 광상 母岩은 화산쇄설암류로 구성되어, 할로이사이트의 母岩은 회장암으로 구성되어 있으나 이에 관한 地質時代 대비가 이루어지지 못하였으며, 火成酸性岩類인 貫入岩은 石英閃綠岩과 黑雲母花崗岩으로 되어 있으나 時代규정은 확정된 바 없고 백악기 말에 火成作用에 의해 生成되었다고 추정된다.

鎌物隨伴關係를 고려할 때 덕카이트, 명반석을 主成分으로 하는 고령토—납석 광상은 白堊紀 上部層인 火成酸性岩類에 해당시키고 백악기 하부층에서는 납석과 高溫鎌物인 홍주석, 듀모티에라이트의 隨伴을 보아 백악기 하부로 추정되나 火成酸性岩類의 지층대비와 火成酸性岩類의 分類方案이 선행되어야만 鎌床生成機構논의에 接近할 수 있다.

## 參考文獻

- 김옥준 (1982) 韓國의 地質과 鎌物資源. 김옥준교수정  
년회임기념. 연세대학교 지질학과 동문회, p. 1-308.  
김용훈 (1986) 철불산 납석 광상에 대하여. 부산대학교  
석사논문.  
민경덕·김옥준·윤석규·이대성·주승환 (1982) 韓國  
南部의 白堊紀末 이후의 火成活動과 鎌化作用에 대  
한 판구조 적용성 연구. 광산지질, 15권 3호, p. 123-  
154.  
박홍범·권숙분·박배영·신상관 (1983) 高耐火度鎌石  
鎌物의 分布·成因에 關한 研究. 광산지질, 15권 2  
호, p. 89-102.  
손진남·윤현수·김홍열·고민자·조동행·구자학·김  
상길 (1980) 海南 목포지역 白堊紀 핵유질 세일층에  
대한 研究. KIGAM, Bulletin 21, 자원개발연구소.  
이정환 (1967) 항공사진에 의한 지질구조해석 및 광화

- 작용의 관계. 과기처, E67.
- 이창섭 (1985) 유광도석 광상의 성인에 대하여. 부산대학교 석사논문.
- 장기홍 (1977) 경상분지내 상부증생계의 층서퇴적 및 지구조. 지질학회지, 13권 2호, p. 76-90.
- 조한익·문희수 (1978) 한국 명반석 광상조사보고. 조사특보 02, 자원개발연구소.
- 木野崎吉郎 (1929) 海南·右水營地質圖. 地質調査所.
- 木野崎吉郎 (1934) 경남 김해군·전남 해남·진도·무안군 명반석지질광상조사보고 8권, 地質調査所.
- 木野崎吉郎 (1963) 日本中國地方의 남석광상개요. 廣島大學 地學研究報告 4권, p. 173-183(日文).
- 久野久 (1976) 火山 및 火山岩. 2nd ed. 岩波全書, p. 1-283(日文).
- 土田定次郎 (1943) 朝鮮礦床論. p. 218(日文).
- 片山信夫 (1969) 남석 광상의 생성기구와 탐광방법. 일본광산지질, 19권 9호, p. 31-41(日文).
- 藤井紀久·平野英雄·須藤定久·神谷雅晴·富権幸雄 (1979) 岡山縣 三石地域남석礦床 形成場에 대하여. 일본광산지질, 29권 2호, p. 83-95(日文).
- 白石清吾 (1972) 第21回 粘土原料委員會資料. 24-333, 34-41(日文).
- 山成不仁磨 (1924) 輪川 密陽地質圖. 地質調査所.
- Browne P. R. L. (1970) Minerlization Broad Lands Geothermal Field, Joupo Volcanic Zone, N.Z. IMA-IAGOD '70, p. 64-75.
- Ervin, G. Jr and Osborn E.F. (1951) The System  $\text{Al}_2\text{O}_3-\text{H}_2\text{O}$ . Jour. of Geology, v. 59, p. 381-394.
- Ewell, R.H. and Insley, H.V. (1935) Jour. Res. Nat. Bur Standard, v. 15, No. 173.
- Fisher, R.V. and Schmincke (1982) Pyroclastic Rock. Springer Verlag, N.Y.
- Gallagher, D. (1963) Mineral Resources of Korea. USOM-ROKGS.
- Hemely, J.J. and W.R. Jones (1964) Chemical aspects of hydrothermal alteration with emphasis on hydrogen metasomatism. Econ. Geol., v. 159, p. 538-569.
- Hemely, J.J. and W.R. Jones, J.W. Monotoga, A. Nigrina and H.A. Vincent (1971) Some alteration Reaction in the System  $\text{CaO}-\text{Al}_2\text{O}_3-\text{SiO}_2-\text{H}_2\text{O}$ . S.C. Min. Geol. Sp.2.
- Iwao, S. (1954) Wallrock alteration of Kosaka Mine Akita Prefecture, Japan. Rept. Geol. Sur. Japan, N. 162.
- Iwao, S. (1972) Genesis of Clay. Jour. Clay Soc. Japan, v. 12 (Abstract).
- Kennedy, G.C. (1919) Phase relation in the System  $\text{Al}_2\text{O}_3-\text{H}_2\text{O}$  at high temperature and pressure. Am. Jour. Sc., v. 257, p. 563-573.
- Leonard A., Suzuki S., Fripiat, J.J. and De Kinge C (1964) Jour Phys. Chem., v. 68, p. 2608.
- Laubengayer, A.W. and Weitz, R.S. (1943) A hydrothermal study of equilibria in the system Alumina-Water. Am. Chem. Soc. Jour., v. 65, p. 247-250.
- Lovering, T.S. (1957a) Rock alteration as a guide to ore east tint district, Utah. Econ. Geol. Mono. 1.
- Lovering, T.S. (1957b) Halogen acid alteration of ash at fumarole No. 1 Valley of ten thousand Smoker Alaska. Bull Geol. So Am., v. 68, p. 1588-1604.
- Macdon, G.A. (1972) Volcanoes. Prentice Hall Inc. N.J. USA., p. 1-510.
- Meyer, C. and Homley J (1967) Wallrock alteration in Geochemistry and hydrothermal ore deposits. In: Barnes., H.L., p. 166-235.
- Noll, W. (1935) Neues Jahrb. Miner. Geol. Paleontol. Abh. Abt, A70, 67.
- Noll, W. (1944) Kolloid Zeit. v. 107, p. 181.
- Rodrique L., Pencelet, F. and Heribillons (1972) Proc. Intern. Clay Conf. Madrid, p. 187.
- Roy, D.M. and Roy, R. (1955) Synthesis and Stability of Minerals in the System  $\text{MgO}-\text{Al}_2\text{O}_3-\text{SiO}_2-\text{H}_2\text{O}$ . Am Miner., v. 40, No. 3-4, p. 147-178.
- Roy, R. and Osborn, E.F. (1954) Am. Miner., v. 52, p. 1161.
- Roy, R. and Osborn, E.F. (1962) C.N.R.S. v. 105, p. 83.
- Sang, K.N. (1983) Pyrophyllite Clay deposits in the Republic of Korea. Industrial Minerals, No. 194, p. 30-31.
- Steiner, A (1953) Hydrothermal rock alteration at Wairakei, N.J. Econ. Geol., v. 48, N1.
- Tsuzuki, Y. and Mizutani, S. (1971) A Study of Rock Alteration process based on kinetics of hydrothermal Experiment. Contr. Miner. Petrology, v. 30, p. 15-33.
- Yoder, H.S. (1952) The  $\text{MgO}-\text{SiO}-\text{H}_2\text{O}$  System and related metamorphic faces. Am. Jour. Sc., Bowen Volum, p. 569-627.

